

SYMPOZJON "MODELOWANIE W MECHANICE"

POLSKIE TOWARZYSTWO MECHANIKI TEORETYCZNEJ I STOSOWANEJ

Beskid Śląski, 1980

Wiesław Ostachowicz, Marek Krawczuk

Instytut Maszyn Przepływowych - PAN Gdańsk

ANALIZA DRGAŃ BELKI ZE SZCZELINĄ

Streszczenie. W pracy przedstawiono analizę wpływu wielkości i położenia szczeliny na amplitudę drgań wymuszonych siłą okresową i częstości drgań własnych belki utwierdzonej. Układ modelowano belkowymi elementami skończonymi o dwóch węzłach i czterech stopniach swobody w węźle. W miejscu szczeliny wprowadzono specjalny element belkowy ze szczeliną. Do obliczania częstości drgań własnych zastosowano metodę Jacobiego, równanie ruchu drgań wymuszonych całkowano metodą Newmarka.

1. Wstęp

Szczeliny w elementach maszyn powstają na skutek różnorodnych przyczyn; mogą być to uszkodzenia mechaniczne, erozja, korozja lub w przypadku elementów eksploatowanych w zakresie ograniczonej wytrzymałości zmęczeniowej, zmęczenie materiału.

Szczeliny w istotny sposób wpływają na charakterystyki dynamiczne pracujących elementów. W miejscu istnienia szczeliny następuje lokalna zmiana sztywności konstrukcji. Ponieważ sztywność ta zmienia się w obszarze rozpatrywanego elementu konstrukcyjnego, charakterystyki dynamiczne zależne są od umiejscowienia szczeliny, jej rozmiarów a także rozpatrywanej postaci drgań.

Do chwili obecnej powstało kilka modeli służących do analizy drgań układów ze szczelinami [1 - 4]. W prostych przypadkach szczelinę modelowano liniową sztywnością zastępczą [1,2], w bardziej skomplikowanych wykorzystano metodę elementów skończonych [3,4].

W niniejszej pracy przedstawiono analizę drgań belki utwierdzonej ze szczeliną. Określono wpływ wielkości i położenia szczeliny na amplitudę drgań wymuszonych i częstości drgań własnych.

2. Równania ruchu

2.1. Drgania wymuszone

Równania ruchu w przypadku drgań wymuszonych przyjmą powszechnie postać [5]

$$M\ddot{q} + C\dot{q} + Kq = F^0 \sin \omega t, \quad (1)$$

gdzie: M, C, K - macierze globalne bezwładności, tłumienia i sztywności układu [5],
 F^0 - wektor przemieszczeń uogólnionych,
 ω - amplituda siły wymuszającej,
 ω - częstość wymuszeń.

Do rozwiązania równania (1) zastosowano metodę bezpośredniego całkowania (Newmarka).

2.2. Drgania własne

Częstości drgań własnych i postacie tych drgań obliczamy rozwiązując zagadnienie własne

$$(K - \omega^2 M) q^0 = 0. \quad (2)$$

Równanie (2) przedstawiamy w postaci:

$$(A - I \omega^2) x^0 = 0, \quad (3)$$

gdzie: $A = M_D^{-1} \cdot K \cdot M_G^{-1}$
 I - macierz jednostkowa,

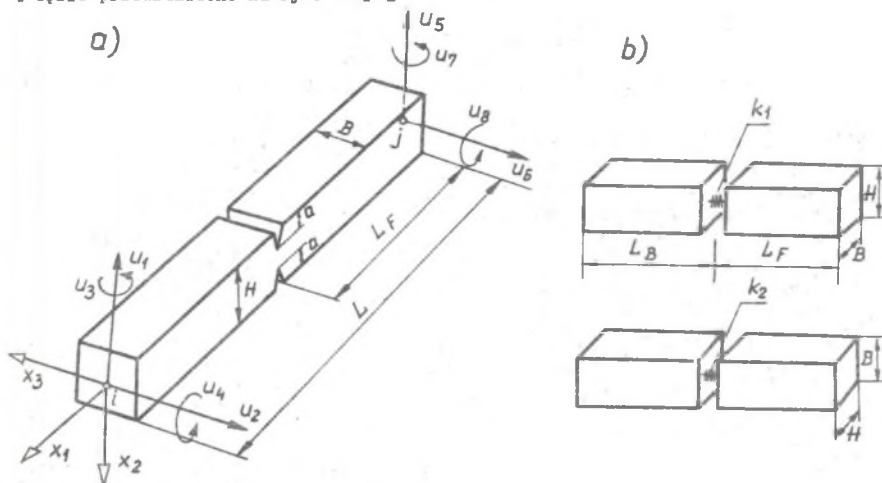
$$x^0 = M_G \cdot q^0,$$

M_G, M_D - górna i dolna macierz trójkątna otrzymana z macierzy M .

Z równania (3) wyznaczamy częstości drgań własnych i postacie tych drgań (np. metodą Jacobiego [5]).

3. Element belkowy ze szczeliną

Element belkowy ze szczeliną o dwóch węzłach i czterech stopniach swobody w węźle przedstawiono na rys. 1 [6]



Rys. 1a) Element belkowy ze szczeliną,
 1b) Szywności zastępcze w miejscu szczelin; k_1 -współczynnik sztywności zginania względem osi x_3 , k_2 -współczynnik sztywności zginania względem osi x_2

Stosując prawa mechaniki pęknięcia, można obliczyć współczynniki zastępczej sztywności zginania elementu : [1]

w płaszczyźnie $x_1 - x_2$:

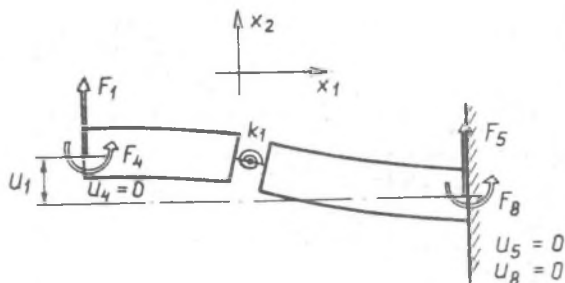
$$\frac{1}{k_1} = \frac{36 \pi \gamma^2}{B H^2 E} (0.5033 - 0.9022 \gamma + 3.412 \gamma^2 - 3.181 \gamma^3 + 5.793 \gamma^4), \quad (4)$$

w płaszczyźnie $x_2 - x_3$:

$$\frac{1}{k_2} = \frac{36 \pi \gamma^2}{B^3 E} (0.259 - 0.3186 \gamma + 0.5052 \gamma^2 - 0.2914 \gamma^3 + 0.2008 \gamma^4), \quad (5)$$

gdzie : $\gamma = \frac{2a}{H}$ - wysokość względna szczeliny.

Elementy macierzy sztywności można obliczyć na podstawie twierdzenia Castigliano, zmieniając kolejno uwięziona stopnie swobody elementu skończonego. Poniżej przedstawiono przykład obliczania wyrazu $K_{1,1}$. Obciążenie elementu przedstawiono na rys. 2.

Rys. 2. Zginanie elementu w płaszczyźnie $x_1 - x_2$

Przemieszczenie u_4 obliczamy ze związku:

$$u_4 = \frac{\partial U}{\partial F_4} = \int_0^l \left(\frac{V}{GA} \right) \left(\frac{\partial V}{\partial F_4} \right) dx + \int_0^l \left(\frac{M}{EJ_3} \right) \left(\frac{\partial M}{\partial F_4} \right) dx + \left(\frac{M}{k_1} \right) \left(\frac{\partial M}{\partial F_4} \right) \Big|_{x=l_B} = 0. \quad (6)$$

Zakładając $V = F_1$, $M = F_1 x - F_4$ z równania (6) otrzymujemy związek

$$F_4 = \frac{F_1 \cdot \left(\frac{l^2}{2EJ_3} + \frac{l_B}{k_1} \right)}{\left(\frac{l}{EJ_3} + \frac{1}{k_1} \right)}. \quad (7)$$

Przemieszczenie u_1 obliczamy ze związku:

$$u_1 = \frac{\partial U}{\partial F_1} = \int_0^l \left(\frac{V}{GA} \right) \left(\frac{\partial V}{\partial F_1} \right) dx + \int_0^l \left(\frac{M}{EJ_3} \right) \left(\frac{\partial M}{\partial F_1} \right) dx + \left(\frac{M}{k_1} \right) \left(\frac{\partial M}{\partial F_1} \right) \Big|_{x=l_B}. \quad (8)$$

Sztywność $K_{1,1}$ jest definiowana jako stosunek siły F_1 do przemieszczenia

$$u_1. \text{ Podstawiając (7) do (8) otrzymujemy: } \left(\frac{l}{EJ_3} + \frac{1}{k_1} \right) \quad (9)$$

$$K_{1,1} = \frac{\left(\frac{l}{EJ_3} + \frac{1}{k_1} \right)}{\left(\frac{l}{GA} + \frac{l^3}{3EJ_3} + \frac{l_B^2}{k_1} \right) \left(\frac{l}{EJ_3} + \frac{1}{k_1} \right) - \left(\frac{l^2}{2EJ_3} + \frac{l_B}{k_1} \right)^2}$$

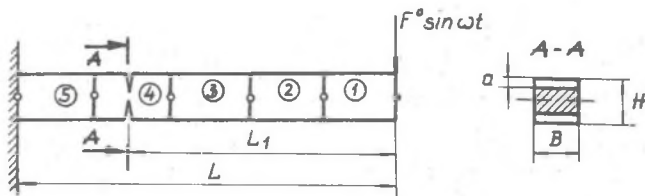
gdzie: E - moduł Younga,
 G - moduł Kirchoffa,
 I_3 - geometryczny moment bezwładności przekroju względem osi x_3

4. Przykład obliczeń

Obliczenia numeryczne przeprowadzono dla układu przedstawionego na rys.3.

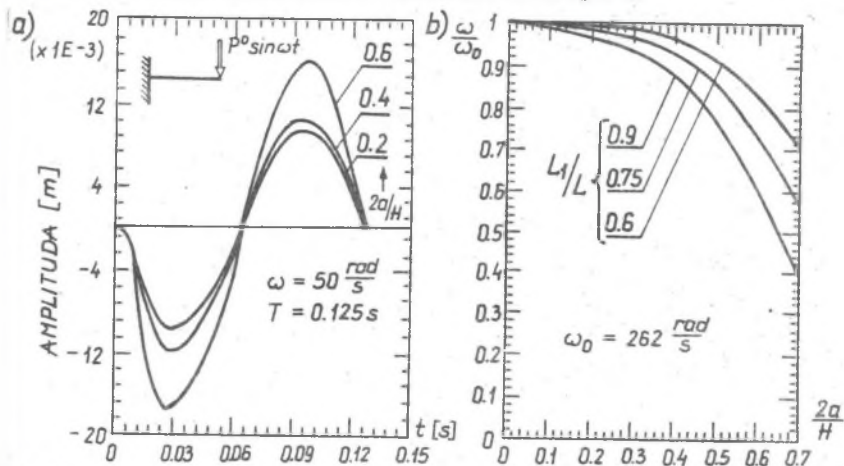
Do obliczeń przyjęto następujące dane:

$\rho = 7860 \text{ kg/m}^3$	$L = 1.0 \text{ m}$
$E = 2.1 \cdot 10^{11} \text{ N/m}^2$	$L_1/L = 0.6; 0.75; 0.9$
$G = 8.15 \cdot 10^{10} \text{ N/m}^2$	$BXH = 0.05 \cdot 0.05 \text{ m}$
$\gamma = 0.3$	$F^0 = 2000 \text{ N}$
	$\omega = 50 \text{ rad/s}$



Rys. 3. Model obliczeniowy

Belkę modelowano pięcioma elementami skończonymi, przy czym jeden z elementów zawierał szczelinę. Wyniki obliczeń przedstawiono na rys. 4.



Rys. 4. Wpływ wielkości szczeliny: a) amplitudę drgań wymuszonych
b) częstotliwość drgań własnych.

5. Wnioski

Analiza wyników obliczeń prowadzi do następujących wniosków :

1. Częstotliwości i amplitudy drgań zależą od dwóch parametrów, położenia szczeliny (L_1/L) oraz jej wielkości ($2a/H$).
2. Na podstawie analizy zmian częstotliwości drgań własnych możliwa jest identyfikacja położenia szczeliny i jej wymiarów.

W celu weryfikacji opisanego w pracy modelu konieczne jest przeprowadzenie badań doświadczalnych.

LITERATURA

- [1] Ju.F.D., Akgun M., Paez T.L., Wong E.T.: Diagnosis of fracture damage in simple structures. Bureau of Engineering Research Report No. CE-62(82) AFOSR-993-1, University of New Mexico, Albuquerque, NM. (1982).
- [2] Anifantis N., Dimarogonas A.: Stability of columns with a single crack subjected to follower and vertical loads. An International Journal Solids Structures (1983) Vol. 19, No.4, pp. 281 - 291.
- [3] Gounaris G., Dimarogonas A.: A finite element of a cracked prismatic beam for structural analysis. An International Journal Computers and Structures, (1988), Vol. 28. No.3, pp. 309 - 313.
- [4] Dirr B.O., Schmalhorst B.K.: Crack depth analysis of a rotating shaft by vibration measurement. ASME Design Technology Conferences (1987), pp. 607 - 614.
- [5] Zienkiewicz O.C.: Metoda Elementów Skończonych, Warszawa 1972, 'Arkady'.
- [6] Haisty B.S., Springer W.T.: A general beam for use in damage assessment of complex structures. ASME Journal of Vibration Acoustics, Stress, and Reliability in Design (1988) Vol. 110, pp. 389 - 394.

АНАЛИЗ КОЛЕБАНИЙ БАЛКИ С ТРЕЩИНОЙ

Резюме

В работе показано анализ влияния положения и величины трещины на частоту и амплитуду колебаний балки. Балка моделирована балковыми конечными элементами с трещинами. Частоту колебаний рассчитано при помощи метода Якобего, уравнение движения решено методом Ньюмарка.

VIBRATION ANALYSIS OF A CRACKED BEAM

Summary

The paper presents the effect of the location and magnitude of a crack on the values of amplitude of forced vibration and free vibration frequencies. The beam is modeled by a beam finite elements with crack. Free vibration frequencies were calculated by Jacobi method, equation of motion was integrated using Newmark method.